

## بررسی مشخصات مکانیکی و سازه‌ای بتن فوق‌توانمند با مقادیر مختلف الیاف فولادی

امیر حاجی اسماعیلی<sup>۱</sup>، محمد جواد محمدی<sup>۲</sup>، محمد شرچیزاده<sup>۳</sup>

۱- دکتری مهندسی عمران گرایش سازه، دانشگاه EPFL سوئیس

۲- دانشجوی کارشناسی ارشد مهندسی عمران گرایش آب و سازه‌های هیدرولیکی، دانشکده مهندسی عمران دانشگاه تهران

۳- استاد دانشکده مهندسی عمران دانشگاه تهران، سرپرست انتیتو مصالح ساختمانی دانشگاه تهران

[mohammadi.mj@ut.ac.ir](mailto:mohammadi.mj@ut.ac.ir)

### چکیده

لزوم توجه ویژه به توسعه پایدار در رشتہ مهندسی عمران به منظور پیشرفت جوامع امروزی، بتن را به عنوان پرمصرف‌ترین ماده در این زمینه، مورد توجه محققین قرار داده است. در این راستا بتن فوق‌توانمند الیافی در جایگاه یکی از جدیدترین نوآوری‌ها در زمینه تکنولوژی بتن مورد توجه ویژه قرار گرفته است، از این رو باید اطلاعات مناسب و کافی از خواص مکانیکی و اطلاعات موردنیاز طراحی سازه‌ای در دسترس باشد. در این پژوهش دستیابی به طرح اختلاط بتن فوق‌توانمند و ارزیابی خواص مکانیکی و اطلاعات موردنیاز طراحی سازه‌ای این ماده مورد بررسی قرار گرفت. به این منظور ابتدا ۱۴ طرح اختلاط با نسبت‌های مختلف پارامترهای تاثیرگذار از جمله نوع سنتگانه، نسبت آب به سیمان، مقدار سیمان، نسبت میکروسیلیس به سیمان و مقدار فوق روان کننده ساخته شده است و از بین آن‌ها طرح اختلاط بهینه با توجه به مقاومت فشاری میانگین حدود ۱۷۵ مگاپاسکال و روانی ۱۹/۷۵ میلیمتر انتخاب گردید. سپس مشخصات مکانیکی بتن فوق‌توانمند با یک و دو درصد حجمی الیاف فولادی بوسیله آزمایش‌های مقاومت فشاری، مقاومت خمشی، مقاومت کششی بزری و مدول الاستیسیته مشخص شده است. بوسیله آزمایش تک محوری، سه محوری و کشش مستقیم، اطلاعات موردنیاز طراحی سازه‌ای بتن فوق‌توانمند از جمله مدول برشی، ضربی پواسون و منحنی کامل تنش-کرنش فشاری و کششی بدست آمد.

نتایج نشان می‌دهد که افزودن الیاف به بهبود مقاومت فشاری، مقاومت خمشی کمک کرده است ولی تاثیری در افزایش مقاومت کششی ندارد، زیرا بتن فوق‌توانمند مقاومت کششی بالایی نسبت به بتن معمولی دارد و افزایش یک درصدی الیاف، اختلاف قابل توجهی ایجاد نمی‌کند. با افزایش میزان الیاف از یک به دو درصد حجمی، مدول الاستیسیته بتن فوق‌توانمند افزایش پیدا کرده و منحنی تنش-کرنش نشان می‌دهد که جذب انرژی بیشتری دارد. مقادیر ضربی پواسون و مدول برشی در آزمایش با فشار تک محوری (فشار جانبی صفر) به دست آمده‌اند و برای طراحی‌های سازه‌ای مفید می‌باشد. مطابق با آزمایش سه محوری، به جز در فشار جانبی ۵ مگاپاسکال، باعث افزایش در ظرفیت تنش نهایی بتن می‌شود و همچنین مدول الاستیسیته بتن در افزایش پیدا کرده و در فشارهای جانبی ۱۰، ۱۵ و ۲۰ مگاپاسکال مشخص گردیده است. با استفاده از آزمایش کشش مستقیم بر نمونه‌های استخوانی شکل، منحنی کامل تنش-کرنش کششی در مقادیر مختلف الیاف بدست آمد. مساحت زیاد زیر منحنی نشان دهنده طاقت و جذب انرژی زیاد بتن الیافی فوق‌توانمند در بارگذاری کشش مستقیم می‌باشد. منحنی‌های کامل تنش-کرنش بتن فوق‌توانمند حاوی یک و دو درصد الیاف فولادی تحت آزمایش تک محوری و سه محوری بدست آمد.

کلمات کلیدی: بتن فوق‌توانمند، خواص مکانیکی، منحنی تنش-کرنش، آزمایش‌های تک محوری و سه محوری، کشش مستقیم

## ۱. مقدمه

امروزه با رشد فزاینده بشر و ایجاد تحول‌های ساختاری در نوع زندگی، پیشرفت یک جامعه بدون توجه به «توسعه پایدار» ناممکن خواهد بود. از طرفی دستیابی به چنین توسعه‌ای مستلزم گسترش مطلوب تکنولوژی و زیرساخت‌ها و همچنین شناخت مفهومی مولفه‌های آن‌ها می‌باشد. در این راستا مهندسی عمران نقش ویژه‌ای را ایفا کرده و از جایگاه و اهمیت خاصی برخوردار است.

با توجه به این مفهوم، یکی از گام‌های اولیه استفاده بهینه از مواد و مصالح محدود موجود در طبیعت است به نحوی که بتوان با مصرف حداقل مواد اولیه، حداکثر مقاومت و دوام را بدست آورد. با توجه به این امر که بتن پرمصرف ترین ماده در طرح‌های توسعه زیر ساخت‌های عمرانی می‌باشد، می‌توان بتن‌های فوق توانمند (UHPFRC)<sup>۱</sup> را عنوان یکی از جدیدترین تکنولوژی‌های روز دنیا در زمینه بتن و ماده‌ای با مقاومت و دوام فوق العاده نسبت به بتن معمولی، در نظر گرفت.

بتن فوق توانمند یا به اختصار (UHPC)<sup>۲</sup> بر اساس توصیه انجمن مهندسین عمران فرانسه<sup>۳</sup> [۱] عمدتاً به ماده‌ای با بدنه سیمانی گفته می‌شود که بیش از ۱۵۰ مگاپاسکال مقاومت فشاری دارد، دارای کاربینیری بالایی است و همچنین برای دارا بودن رفتار شکل‌پذیر، حاوی مقدار کافی الیاف می‌باشد. این مقاومت فشاری بالا عمدتاً از یک دانه‌بندی بسیار ریز، به همراه یک ماتریس همگن و توپر از مواد سیمانی، استفاده از پوزولان‌های مناسب خصوصاً میکروسیلیس، کاهش نسبت آب به مواد سیمانی تا دامنه حدود ۰/۲۵ و استفاده از فوق روان کننده‌ها به منظور ایجاد کارایی مناسب و سایر افزودنی‌ها حاصل شده است. علاوه بر موارد فوق در کاربردهای عملی، عمدتاً الیاف به این مخلوط اضافه شده تا جذب انرژی بتن فوق توانمند را افزایش داده و همزمان خواص مکانیکی و مقاومت کششی قابل توجهی را در آن ایجاد نماید. [۲-۵]

بتن فوق توانمند کاربرد زیادی در پل‌ها از مزایای اقتصادی کاربرد بتن فوق توانمند نسبت به بتن معمولی شامل کاهش زمان ساخت و افزایش فضای قابل استفاده طبقات ساختمان می‌باشد. استفاده از دهانه‌های بلندتر با استفاده از بتن فوق توانمند می‌تواند تعداد ستون‌ها و حجم فونداسیون ستون‌ها را کاهش دهد.

افزایش قابل انتظار عمر سرویس دهنده و هزینه‌های کمتر نگهداری بتن فوق توانمند منجر به افزایش منافع اقتصادی می‌شود. [۶ و ۷]  
رفتار بتن فوق توانمند مسلح شده با الیاف مشابه بتن مسلح شده با آرماتورهایی با قطر زیاد است. استفاده از الیاف با طول ۱۳ میلی متر و قطر ۰/۱۵ میلی متر و سنگدانه با میانگین اندازه ۰/۲۵ میلی متر متراff مترادف با استفاده از آرماتور با طول ۰/۹۷ متر و قطر ۱۲ میلی متر در بتن با اندازه حداکثر دانه ۱۹ میلی متر می‌باشد. عملکرد مناسب این الیاف در بتن مستلزم آن است که الیاف دارای مقاومت کششی بالایی باشند.

در توصیه‌های کنونی، هیچ حد بالایی برای میزان الیاف تعريف نشده است. هرچند، مقدار الیاف باید در حد پایین بماند تا خمیر در حالت تازه کاربینیر بوده و از پخش ناهمسان الیاف جلوگیری شود. استفاده از ۲ درصد حجمی الیاف، معمول ترین میزان استفاده از الیاف در بتن فوق توانمند بوده که مطابق با میزان بهینه اقتصادی مشخص شده توسط ریچارد<sup>۶</sup> و شقزی<sup>۷</sup> [۱۹۹۵] می‌باشد. [۸]

در ادامه محققان به بررسی برخی از مهم‌ترین ویژگی‌های سازه‌ای این مصالح نوین که موجبات اصلی شاخص شدن آن را ایجاد نموده است و در طراحی سازه‌ها با استفاده از آن، بایستی مورد توجه قرار گیرند، پرداخته شده است.

بتن فوق توانمند تا ۷۰ یا ۸۰ درصد از مقاومت نهایی خود دارای رفتار خطی است. پس از آن اگر بتن فوق توانمند بدون استفاده از الیاف فولادی ساخته شده باشد، به صورت ناگهانی و معمولاً با تولید صدا منعدم می‌شود در حالی که اگر الیاف در تولید آن به کار رفته باشد، منحنی کرنش-کرنش حالت نزولی پیداکرده و با افزایش کرنش، انرژی قابل ملاحظه‌ای جذب می‌کند. [۹] به دلیل این مقاومت کششی نسبتاً زیاد، برخلاف بتن معمولی، صرف نظر نمودن از باربری کششی در محاسبات سازه‌ای منطقی به نظر نمی‌رسد. با انجام تعدادی آزمایش کشش مستقیم، در نمونه‌های بتن فوق توانمند، نمودار تنش-کرنش آن در چهار حالت رفتاری الاستیک، پدیده پل زدن، کرنش سخت شدگی و نرم شدگی کرنشی ارائه شد. [۱۰]

به دلیل تراکم بالا در ریزساختار، مدول الاستیسته بتن فوق توانمند از بتن‌های معمولی بالاتر بوده و بسته به طرح اختلاط و نحوه عمل آوری، در حالت استاتیکی در بازه‌ی حدود ۴۰ تا ۷۰ گیگاپاسکال قرار می‌گیرد. [۱۱] در برخی مطالعات انجام شده بر روی انواع بتن فوق توانمند، به عنوان یکی از

<sup>۱</sup> Ultra High Performance Fiber Reinforced Concrete

<sup>۲</sup> Ultra High Performance Concrete

<sup>۳</sup> Association française de génie civil (AFGC)

<sup>۴</sup> Richard

<sup>۵</sup> M. Cheyrez

نتایج ثانویه، حدود ۰/۲ برای نسبت پواسون گزارش شده است. بر همین اساس انجمن مهندسین عمران فرانسه نیز همین عدد را برای محاسبات سازه‌ای، در صورتی که اطلاعات دقیقی در دست نباشد، پیشنهاد می‌دهد. [۱]

در این تحقیق در ابتدا سعی شد با استفاده از تجربیات پیشین موجود در آزمایشگاه مصالح ساختمانی دانشکده فنی دانشگاه تهران در خصوص بتن‌های مقاومت بالا، طرح اختلاطی بهینه و صنعتی با مصالح موجود در کشور برای بتن فوق توانمند تهیه شود. در این راستا ابتدا پارامترهای تاثیرگذار از جمله نوع سنگدانه، نسبت آب به سیمان، مقدار سیمان، نسبت میکروسیلیس به سیمان و مقدار فوق روان کننده مشخص گردید و ترکیب این متغیرها در ۱۴ اختلاط با یکدیگر مورد مقایسه قرار گرفت. در نهایت طرح اختلاط بهینه با توجه به کارپذیری و مقاومت مخلوط انتخاب گردید. پس از آن به منظور ارزیابی مشخصات مکانیکی بتن فوق توانمند آزمونهای مختلفی از جمله مقاومت فشاری، مقاومت خمی، کشش مستقیم، مدول الاستیستی، مدول برشی، ضربه پواسون و آزمایش‌های تک محوری و سه محوری با طرح اختلاط بهینه شده و مورد آزمایش قرار گرفتند. از آنجایی که هزینه ساخت بتن فوق توانمند با توجه به اجزای تشکیل دهنده آن بویژه الایاف فولادی بسیار بالا می‌باشد، به منظور بهره‌وری از خصوصیات فوق العاده این ماده بطور اقتصادی، لازم است این مقدار بهینه شده و به بررسی مهم ترین ویژگی‌های سازه‌ای آن توسط آزمایش‌های مربوطه، پرداخته شود.

## ۲. مصالح مصرفی

- سیمان:** سیمان استفاده شده در این مقاله، نوع ۱-۵۲۵ یعنی سیمان با مقاومت ۲۸ روزه معادل ۵۲,۵ مگاپاسکال می‌باشد که از کارخانه شهرکرد تهیه شد. در جدول ۱ و ۲ مشخصات شیمیایی و فیزیکی سیمان بررسی شده است.

جدول ۲- مشخصات فیزیکی سیمان

مقدار	مشخصه فیزیکی	نمودار
۳۲۰۰	نرمی (cm <sup>3</sup> /gr)	۵,۶۵
۹۰	گیرش اولیه (دقیقه)	۳,۳۰
۱۷۰	گیرش نهایی (دقیقه)	۶۵,۷۰
۳۲	مقاومت فشاری ۳ روزه (مگاپاسکال)	۱,۶۰
۴۶	مقاومت فشاری ۷ روزه (مگاپاسکال)	۱,۸۰
۶۰	مقاومت فشاری ۲۸ روزه (مگاپاسکال)	۱,۱۰

جدول ۱- آنالیز شیمیایی سیمان تیپ ۱-۵۲۵ شهرکرد

نام ترکیب	درصد وزنی
SiO <sub>2</sub>	۲۰,۳
Al <sub>2</sub> O <sub>3</sub>	۵,۶۵
Fe <sub>2</sub> O <sub>3</sub>	۳,۳۰
CaO	۶۵,۷۰
MgO	۱,۶۰
SO <sub>3</sub>	۱,۸۰
L.O.I	۱,۱۰
CrS	۶۵,۴
Cr <sub>2</sub> S	۸,۹
CrA	۹,۴
Cr <sub>2</sub> AF	۵,۴

- سنگدانه:** پس از انجام آزمایش‌های مختلف، سنگدانه بازالتی دلیجان بهترین عملکرد را از خود نشان داده است. میزان چگالی این نوع سنگدانه ۲۸ گرم بر سانتی‌متر مکعب و جذب آب آن ۱/۸ درصد وزنی می‌باشد. دانه‌بندی سنگدانه مذکور در محدوده مشخص شده در نمودار دانه‌بندی توسط ASTM C۳۳ قرار می‌گیرد. [۱۲]

- دوده سیلیس:** میزان مصرف دوده سیلیس در یک ترکیب معمول بتن فوق توانمند، حدود ۲۵ درصد کل مواد سیمانی است که در آزمایش‌های انجام شده در آزمایشگاه مصالح ساختمانی دانشگاه تهران نیز این مقدار به عنوان درصد بهینه بدست آمد. دوده سیلیس تهیه شده از شرکت صنایع فروآلیاژ ایران دارای کیفیت مناسب‌تری نسبت به سایر نمونه‌ها بود. رنگ این محصول نسبتاً روشن است که نشان دهنده کم بودن کربن در این محصول است. در جدول ۳ آنالیز شیمیایی دوده سیلیس مصرفی از این شرکت ارائه شده است.

جدول ۳- آنالیز شیمیایی دوده سیلیسیس تهیه شده

٪%	MgO	٪%	CaO
۰/۰۶-۰/۱۸	S	۴۰-۴۶	۲۷/۷
۰/۲-۱/۲	CuO	۲۰-۲۶	۶/۰۷۳
۰/۰۴-۰/۰۷	MnO	۲۰-۲۶	۰/۰۰۷۴
۰/۰۸	P <sub>2</sub> O <sub>5</sub>	۲۰-۲۶	۰/۰۰۷۴
۰/۴-۳	Li <sub>2</sub> O	۲۰-۲۶	۰
۰/۰۱-۰/۰۴	رمدن	۲۰-۲۶	۰/۰۰۷۴
۰/۰۸-۰/۰۸	PH	۲۰-۲۶	۰/۰۰۷۴

- مواد شیمیایی فوق روانساز: پس از انجام آزمایش، فوق روانساز با پایه پلی کربوکسیلات محصول شرکت B.A.S.F که دارای اثر مطلوب بر روی بتن فوق توانمند بود برای ساخت نمونه ها تهیه شد.

- الیاف: از نظر ابعادی بزرگترین جزء مخلوط بتن فوق توانمند الیاف فولادی می باشد. مدول الاستیسیته الیاف فولادی در حدود ۲۰۰ گیگاپاسکال و تغییر شکل آنها در هنگام گسیختگی ۳ تا ۴ درصد است. الیاف مورد استفاده از کشور آلمان و شرکت STRATEC می باشد (شکل ۱) که دارای طول ۱۳ میلی متر و قطر ۰/۱۷۵ میلی متر است (نسبت طول به قطر ۷/۴) و همچنین مقاومت کششی آن بیش از ۲۰۰۰ مگاپاسکال است. در کشور مانیز شرکت صنایع مفتولی زنجان الیاف فولادی با طول ۵۰ میلی متر و قطر ۰/۸ میلی متر تولید می کند و مقاومت کششی آن کمتر از ۱۰۰۰ مگاپاسکال است. در جدول ۴ میزان ترکیبات شیمیایی الیاف فولادی (غیر از فلز آهن) ارائه شده است.

جدول ۴- ترکیبات شیمیایی الیاف فلزی

درصد وزنی	نام ترکیب
۰/۷۳	C
۰/۷۰	Mn
۰/۳۰	Si
۰/۰۴	P
۰/۰۴	S
۰/۰۷	Cr
۰/۰۶	Ni
۰/۱۰	Cu



شکل ۱- الیاف طلایی رنگ تهیه شده برای ساخت بتن فوق توانمند

### ۳. ساخت نمونه ها

با ترکیب مواد تشکیل دهنده بتن فوق توانمند در میکسر ۱۰ لیتری و قالب گیری سه آزمونه مکعبی ۱۰\*۱۰\*۱۰ سانتی متر، به مدت ۲۴ ساعت در شرایط آزمایشگاه نگهداری شدند. پس از باز شدن از قالب به داخل حوضچه آب گرم با دمای ۸۰ درجه سانتی گراد به مدت ۴ روز قرار گرفتند. لازم به ذکر است فرآیند افزایش و کاهش دما به تدریج صورت گرفته است.

مجموعاً ۱۴ طرح اختلاط آزمایشی برای دستیابی به طرح بهینه بتن فوق توانمند مورد توجه قرار گرفت. در جدول ۵ نتایج آزمایش و خصوصیات هر طرح اختلاط ارائه شده است. پارامترهای متغیر شامل مقدار مواد سیمانی (سیمان و دوده سیلیس)، نسبت آب به مواد سیمانی و نسبت دوده سیلیس به کل مواد سیمانی بوده است. با بررسی کلیه نمونه‌ها، طرح Q12 دارای بالاترین مقاومت و همچنین روانی مناسب می‌باشد که به عنوان طرح نهایی انتخاب گردید.

جدول ۵- خصوصیات طرح‌های اختلاط آزمایشی

نام نمونه	سیمان (kg/m³)	دوده سیلیس (kg/m³)	نسبت آب به مواد سیمانی (%)	نسبت دوده سیلیس به مواد سیمانی (%)	نسبت فوکوس سیمان به مواد سیمانی (%)	دروازه (mm)	عیار مقاومت فشاری (MPa)	عیار وزن مخصوص (Kg/m³)
Q1	۷۷۰	۳۳۰	۰,۲	۳۰	۱,۵	۱۷/۳	۱۳۴/۸۷	۲۳۹۰
Q2	۷۷۰	۳۳۰	۰,۲۲	۳۰	۱,۵	۲۰	۱۳۸/۵۳	۲۳۷۰
Q3	۶۰۰	۳۰۰	۰,۲	۳۳	۲	۱۸,۵	۱۳۵/۵۰	۲۲۸۳/۳۳
Q4	۶۷۵	۲۲۵	۰,۲	۲۵	۱,۸	۱۱,۸	۱۴۱/۳	۲۴۶۰
Q5	۷۷۰	۳۳۰	۰,۱۸	۳۰	۱,۵	۱۳,۵	۱۵۳/۰۷	۲۴۴۳/۳۳
Q6	۸۴۰	۳۶۰	۰,۲۲	۳۰	۱/۵	۲۱	۱۳۸/۳۳	۲۳۶۰
Q7	۸۲۵	۲۷۵	۰/۱۸	۲۵	۳	۱۵	۱۴۰/۴	۲۴۵۰
Q8	۸۲۵	۲۷۵	۰/۱۷	۲۵	۳	۱۳	۱۵۰/۳	۲۴۴۶/۶۷
Q9	۷۷۰	۳۳۰	۰/۱۸	۳۰	۳	۱۶/۱	۱۳۱/۷۷	۲۴۴۶/۶۷
Q10	۹۰۰	۲۷۵	۰/۱۷	۲۵	۳	۱۶/۵	۱۵۷/۵۳	۲۵۰۳/۳۳
Q11	۹۰۰	۳۰۰	۰/۱۷	۲۵	۳	۱۸	۱۷۰/۱۰	۲۴۱۶/۶۷
Q12	۱۰۵۰	۳۵۰	۰/۱۶	۲۵	۳	۱۹/۷۵	۱۷۵/۵۳	۲۴۱۲/۳۳
Q13	۷۷۰	۳۳۰	۰/۱۸	۳۰	۲,۵	۱۷/۷۵	۱۵۴/۱۰	۲۴۹۶/۶۷
Q14	۱۰۵۰	۳۵۰	۰/۱۴	۲۵	۳	۱۴	۱۷۱/۷۰	۲۴۰۶/۶۷

طرح اختلاط‌های نهایی شامل بتن فوق توانمند با یک درصد الیاف (U1)، بتن فوق توانمند با دو درصد الیاف (U2) انتخاب شده و نمونه‌های مورد نیاز برای انجام آزمایش‌ها تهیه شد. در جدول ۶ مشخصات طرح اختلاط بتن فوق توانمند (U1 و U2) ارائه شده است. همانگونه که ملاحظه می‌شود تفاوت U1 و U2 در میزان الیاف است و سایر خواص به منظور مقایسه ثابت در نظر گرفته شده‌اند. در شکل ۲ تصاویر بتن فوق توانمند ساخته شده، نمایش داده شده است. همانگونه که ملاحظه می‌شود این نوع بتن دارای روانی و لزجت مناسب می‌باشد.



شکل ۲- مخلوط بتن فوق توانمند

جدول ۶- طرح اختلاط بتن فوق توانمند و خصوصیات بتن تازه

کد نمونه	U۲	U۱	
سیمان (kg/m³)	۱۰۵۰	۱۰۵۰	
دوده سیلیس (kg/m³)	۳۵۰	۳۵۰	
آب (kg/m³)	۲۲۴	۲۲۴	
فوق روان ساز (kg/m³)	۴۲	۴۲	
الیاف (kg/m³)	۱۵۶	۷۸	
ستگدانه (kg/m³)	۶۷۸	۶۷۸	
نسبت آب به سیمان	۰/۱۶	۰/۱۶	
چگالی (kg/m³)	۲۴۱۵	۲۴۲۴	
قطر بازشدگی (mm)	۱۸۹/۴	۱۹۴/۳	

#### ۴. نتایج آزمایش‌ها

در این بخش نتایج آزمایش‌های انجام گرفته بر روی بتن فوق توانمند ارائه خواهد گردید. همانگونه که پیش‌تر ذکر شد، طرح‌های اختلاط شامل بتن فوق توانمند با یک (U۱) و دو درصد الیاف (U۲) بوده است. آزمایش‌های انجام شده به منظور دستیابی به رفتار مکانیکی این مصالح بوده که شامل آزمایش تعیین مقاومت فشاری تک محوری، مقاومت خمی، کشش بزرگی و مدول برشی می‌باشد.

#### ۴.۱. آزمایش مقاومت فشاری

آزمایش‌های مقاومت فشاری بتن مطابق استاندارد BS-1881 و ASTM C۳۹ [۱۳] بر روی آزمونهای مکعبی و استوانه‌ای صورت می‌گیرد. بر اساس تحقیقات کول مورگان<sup>۶</sup> (۲۰۰۴) و گریبل<sup>۷</sup> (۲۰۰۵) تاثیر هندسه نمونه در مقاومت فشاری نمونه‌های بتن فوق توانمند بسیار ناچیز می‌باشد. بر همین اساس، برای آزمایش بتن فوق توانمند از مکعب‌هایی با ابعاد ۱۰ سانتی‌متر استفاده شده است. [۱۴ و ۱۵]

در جدول ۷ نتایج آزمایش تعیین مقاومت فشاری آزمونهای بتنی ارائه شده است. همانگونه که ملاحظه می‌شود استفاده از میزان الیاف بیشتر در نمونه‌های U۲ (دو درصد حجمی) منجر به بهبود ۱۰ درصدی مقاومت فشاری بتن شده است.

<sup>۶</sup> Kollmorgen

<sup>۷</sup> Graybeal

جدول ۷- نتایج آزمایش تعیین مقاومت فشاری بتن

کد نمونه	میانگین مقاومت فشاری (مگاپاسکال)	انحراف از معیار (مگاپاسکال)
U۱	۱۴۹/۷	۱/۲
U۲	۱۶۱/۳	۳/۲

لازم به ذکر است که افزودن الیاف به مخلوط‌های بتنی به منظور افزایش سایر خواص بتن از جمله شکل‌پذیری آن بوده است و افزایش مقاومت فشاری در درجه اول اهمیت ندارد.

#### ۴.۲. آزمایش مقاومت خمسي

آزمایش تعیین مقاومت خمسي (اولین ترک) بتن مطابق استاندارد ASTM C78 گرفته است. [۱۶] در جدول ۸ نتایج آزمایش مقاومت خمسي ارائه شده است. این نتایج تقریباً منطبق بر نتایج گربیل (۲۰۰۵) می‌باشند. وی در رساله دکتری خود مقاومت خمسي نمونه‌های بتن فوق توانمند را بین ۱۴/۵ تا ۱۹/۵ مگاپاسکال گزارش کرده است. تفاوت مقاومت خمسي بتن فوق توانمند حاوی ۱ و ۲ درصد الیاف در حدود ۱۵ درصد می‌باشد. [۱۵]

جدول ۸- نتایج آزمایش تعیین مقاومت خمسي بتن

کد نمونه	میانگین مقاومت خمسي (مگاپاسکال)	انحراف از معیار (مگاپاسکال)
U۱	۱۶/۴	۱/۱
U۲	۱۹/۲	۳/۷

به نظر می‌رسد نمونه‌های بتنی فوق توانمند پس از گسیختگی اولیه (اولین ترک) نیز توانایی تحمل بار تا گسیختگی نهایی را دارا می‌باشد و این به معنی شکل‌پذیری زیاد این نوع می‌باشد. بر اساس گزارش‌های گربیل (۲۰۰۵)، بتن فوق توانمند دارای مقاومت نهایی خمسي (گسیختگی) تا ۳۵ مگاپاسکال می‌باشد. بنابراین انتظار می‌رود ظرفیت نهایی خمسي بتن فوق توانمند در حدود دو برابر مقاومت خمسي اولین ترک می‌باشد. [۱۵]

#### ۴.۳. آزمایش مقاومت کششی به روش بروزیلی

آزمایش تعیین مقاومت کششی به روش بروزیلی (مقاومت کششی دو نیم شدن آزمونه) با استفاده از رابطه ارائه شده در استاندارد ASTM C496 محاسبه می‌شود. [۱۷] در جدول ۹ نتایج آزمایش تعیین مقاومت کششی به روش نصف کردن (بروزیلی) ارائه شده است. با توجه به ضعف بتن در کشش، به نظر می‌رسد مقدار مقاومت کششی بتن فوق توانمند قابل توجه می‌باشد. بر اساس عامل اصلی در بهبود این خاصیت، استفاده از الیاف فولادی پر مقاومت می‌باشد که باعث افزایش ظرفیت کششی بتن فوق توانمند شده است. بر اساس آزمایش‌های انجام شده توسط گربیل در دانشگاه مریلند آمریکا، مقاومت کششی نمونه‌های بتن فوق توانمند (بر اساس روش نیم کردن) بین ۱۲ تا ۱۴ مگاپاسکال بوده است. [۱۵]

جدول ۹- نتایج آزمایش تعیین مقاومت کششی بتن به روش نصف کردن (بروزیلی)

کد نمونه	میانگین مقاومت کششی (مگاپاسکال)	انحراف از معیار (مگاپاسکال)
U۱	۱۱/۶	۰/۳
U۲	۱۳/۸	۱/۶

نکته جالب تفاوت نسبتی کم بین مقاومت نمونه های U۱ و U۲ می باشد. با توجه به هزینه نسبتاً زیاد الیاف فولادی، امکان استفاده از الیاف با مقدار کمتر، اهمیت اقتصادی زیادی دارد. با این حال باید نتایج کلیه آزمایش ها در نظر گرفته شده و نهایتاً بر اساس نیاز موجود، بهترین طرح بتن مورد استفاده قرار گیرد. نتایج به دست آمده از این آزمایش، به علت تاثیر تنش دو محوره (تنش فشاری عمودی و تنش کششی جانبی) بر روی رفتار پس ترک خوردگی و اتصال ترک ها پیش از بیرون کشیده شدن الیاف از ماتریس بتن فوق توانمند، نمونه مورد آزمایش بار بیشتری تحمل کرده و دارای دقت کامل نمی باشدند.

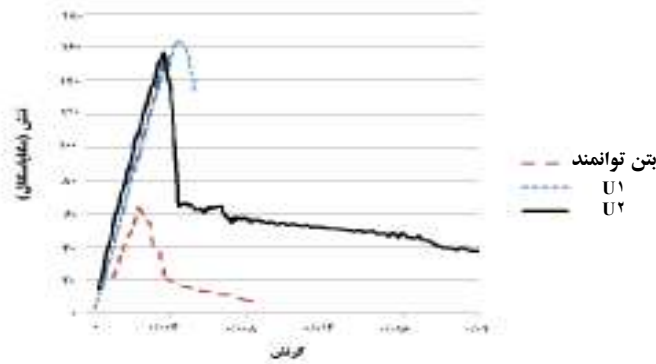
#### ۴.۴. مدول الاستیسیته و منحنی تنش-کرنش

مدول الاستیسیته بتن طبق تعریف استاندارد ASTM C۴۶۹، برابر با شبیه قسمت الاستیک نمودار تنش-کرنش تا ۴۰ درصد مقاومت فشاری نهایی آن می باشد. [۱۸] برای رسم نمودار تنش-کرنش، سنسورهایی روی نمونه نصب شده و بارگذاری پس از گسیخته شدن نمونه نیز ادامه پیدا می کند و در نهایت نمودار تنش-کرنش با استفاده از داده های ثبت شده رسم می شود. به طور طبیعی فرض می شود که ریز ترک های داخلی بتن در تنش های بالا توسعه یافته و همچنین به همراه آن یک کاهش در سختی مشاهده خواهد شد.

در جدول ۱۰ خلاصه نتایج آزمایش تعیین مدول الاستیسیته و مقدار کرنش در فشار حداکثر ارائه گردیده است. بارگذاری با سرعت ۶۰۰ میکرو کرنش در ثانیه صورت پذیرفته است. نمونه ها استوانه ای شکل با قطر ۱۰۰ و طول ۲۰۰ میلی متر بوده اند. با مقایسه نتایج آزمایش مدول الاستیسیته در نمونه های U۱ و U۲ می توان اظهار داشت که مقدار بیشتر الیاف موجب افزایش مدول الاستیسیته می شود. علت این پذیره را می توان به بیشتر بودن الیاف فلزی نسبت داد. زیرا به طور طبیعی فولاد دارای مدول الاستیسیته بیشتری نسبت به بتن است. الیاف فولادی باعث افزایش شکل پذیری بتن فوق توانمند شده اند.

جدول ۱۰-نتایج آزمایش های مدول الاستیسیته و کرنش در بار حداکثر در بتن

کد نمونه	میانگین مدول الاستیسیته (گیگا پاسکال)	میانگین کرنش در بار حداکثر فشاری (میلیمتر / میلیمتر)
U۱	۴۲/۳	۰/۰۰۴۳
U۲	۴۷/۶	۰/۰۰۴۴



شکل ۳- منحنی تنش-کرنش در نمونه های بتن توانمند و فوق توانمند

در شکل ۳ نیز منحنی تنش-کرنش برای مقایسه رفتار بتن تحت فشار رسم شده است. این نمودار شامل میانگین نمودارهای حاصل از آزمایش بر روی سه نمونه بتن فوق توانمند با دو درصد متفاوت الیاف به همراه یک نمونه بتن توانمند می باشد. منحنی نشان می دهد که بتن فوق توانمند دارای جذب انرژی بیشتری نسبت به بتن توانمند است.

الیاف فولادی مانعی در برابر گسترش ترک ها در حین بارگذاری می باشند (پذیره پل زدن)، همچنین باعث پایداری بتن پس از رسیدن به مقاومت حداکثر می شوند و با افزایش میزان الیاف فولادی در بتن، این خاصیت بتن بیشتر بهبود یافته و دارای رفتار شکل پذیرتری است.

<sup>۱</sup> Bridging

انتظار می‌رود نمونه‌های U1 پس از شکست، همچنان دارای مقاومت پس‌ماند باشند. پس از شکست نمونه‌ها، مقاومت آن به صورت لحظه‌ای به شدت افت پیدا کرده و پس از درگیر شدن دوباره الیاف نمونه از خود مقاومت نشان می‌دهد. اما در مورد این نمونه‌ها، با توجه به سرعت بارگذاری، درصد کمتر الیاف نسبت به نمونه U2 و مقاومت زیاد بتن، در هنگام گسیختگی ارزی زیادی آزاد شده و سنسورها را از حالت عادی خارج نموده و بنابراین امکان ثبت منحنی تنش-کرنش بعد از گسیختگی فراهم نگردیده است.

در شکل ۴ و ۵، شکل ظاهری نمونه‌های بتن فوق توانمند پس از گسیختگی نشان داده شده است. همانگونه که مشاهده می‌شود، وجود الیاف فولادی در بتن فوق توانمند، مانع پاشیده شدن این نوع بتن پس از گسیختگی شده است.



شکل ۴- شکل ظاهری یک نمونه بتن فوق توانمند (U2) بعد از گسیختگی

#### ۴.۵. آزمایش سه محوری، تعیین ضربی پواسون و مدول برشی

در این بخش نتایج آزمایش‌های فشاری تک محوری (فشار همه جانبه صفر) و سه محوری انجام گرفته بر روی فوق توانمند ارائه خواهد گردید. نمونه‌ها استوانه‌ای شکل با قطر ۷۵ و طول ۱۵۰ میلی‌متر می‌باشد. مقادیر ضربی پواسون و مدول برشی در آزمایش با فشار تک محوری (فشار صفر) به دست آمده‌اند. سرعت بارگذاری در کلیه آزمایش‌های این بخش برابر با ۵ میکروکرنش بر ثانیه می‌باشد.

به منظور انجام آزمایش‌های مکانیکی این نمونه‌ها از دستگاه MTS استفاده شده است. این دستگاه قابلیت بارگذاری فشاری و کششی را با هم دارا بوده و شامل یک پردازشگر پنج کاناله، کرنش سنج محوری که در یک سوم میانی نمونه نصب می‌شود، کرنش سنج محیطی برای اندازه‌گیری ضربی پواسون و تجهیزات آزمایش سه محوری شامل سلول فشار، دستگاه کنترل و اعمال فشار همه جانبه، رایانه مرکزی، دستگاه کنترل سرعت بارگذاری و ثبت تغییر مکان دوفک بالابی و تحتانی می‌باشد. شکل ۶ نمونه‌های سه محوری تحت بارگذاری در دستگاه MTS نشان می‌دهد.



شکل ۶- نمونه‌ها تحت بارگذاری فشاری سه محوری دستگاه MTS

شکل ۶- نمونه فشاری تحت بارگذاری دستگاه MTS

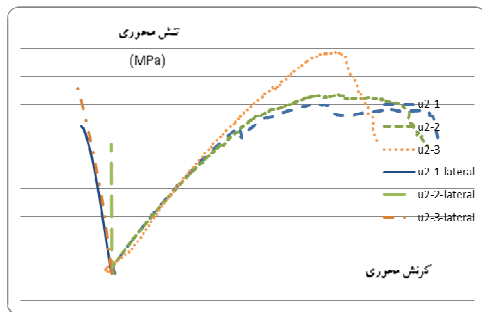
این آزمایش برای به دست آوردن نمودار کامل تنش-کرنش (که شامل شاخه‌های صعودی و نزولی منحنی است) در حالت فشار استاتیکی و به دست آوردن مدول الاستیسیته، ضربی پواسون، مقاومت فشاری نهایی و مقاومت حد تسلیم نمونه‌های بتن‌های فوق توانمند (UHPFRC) تهیه شده در آزمایشگاه انجام شده است تا در طراحی‌های سازه‌ای مورد استفاده قرار گیرد.

برای انجام آزمایش مقاومت فشاری، از روش کنترل تغییر مکان<sup>۴</sup> معادل آهنگ تغییرات کرنش ۰/۰۰۰۷ در ثانیه استفاده شده است.

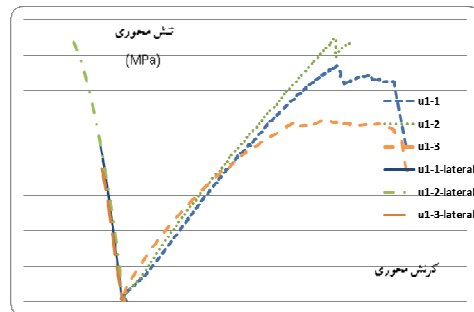
#### ۴.۵.۱. نتایج آزمایش تک محوری

آزمایش فشاری بتن فوق توانمند حاوی یک و دو درصد الیاف که در این تحقیق طراحی شده بر روی سه نمونه انجام شد و منحنی های تنش-کرنش محوری و جانبی مربوطه در شکل ۸ و ۹ ارائه شده است. تنش نهایی در کرنشی تقریباً معادل ۰/۰۰۴ برای بتن فوق توانمند با یک درصد الیاف (U۱) و حدود ۰/۰۰۵ برای بتن فوق توانمند با دو درصد الیاف (U۲) اتفاق می افتد و این موضوع نشان دهنده آن است که نمونه های با دو درصد الیاف میزان جذب انرژی بیشتری نسبت به نمونه های با یک درصد الیاف از خود نشان داده اند.

خلاصه مشخصات به دست آمده از آزمایش ها بر روی بتن فوق توانمند با یک و دو درصد الیاف (U۱ و U۲) فلزی شامل مدول الاستیسیته، مقاومت فشاری نهایی، ضریب پواسون و مدول برشی در جدول ۱۱ و ۱۲ آورده شده است.



شکل ۹- منحنی تنش-کرنش بتن فوق توانمند حاوی دو درصد الیاف فلزی در بارگذاری تک محوری



شکل ۸- منحنی تنش-کرنش بتن فوق توانمند حاوی یک درصد الیاف فلزی در بارگذاری تک محوری

جدول ۱۲- مشخصات بتن فوق توانمند با ۲ درصد الیاف (U۲) در بارگذاری فشاری

G (GPa)	v	E (GPa)	$\sigma_u^{\square}$ (MPa)	نام نمونه
۱۶/۹	۰/۲۰۷	۴۰/۹	۱۱۶/۷	U۲-۱
-	-	۴۱/۰	۱۲۷/۰	U۲-۲
۱۶/۸	۰/۱۷۳	۳۹/۵	۱۵۷/۳	U۲-۳
۱۶/۹	۰/۱۹	۴۰/۴	۱۴۲/۱	میانگین

جدول ۱۱- مشخصات بتن فوق توانمند با ۱ درصد الیاف (U۱) در بارگذاری فشاری

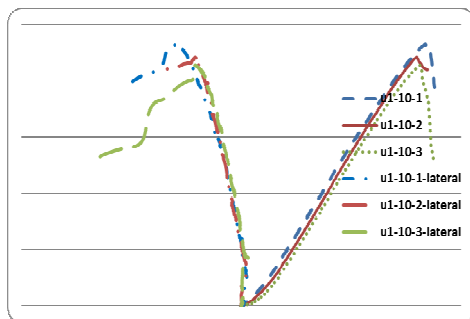
G (GPa)	v	E (GPa)	$\sigma_u^{\square}$ (MPa)	نام نمونه
۱۴/۵	۰/۱۷	۳۴	۱۲۸/۶	U۱-۱
۱۵/۲	۰/۱۸۵	۳۶	۱۴۹/۶	U۱-۲
۱۵/۶	۰/۱۸۸	۳۷	۱۰۳/۷	U۱-۳
۱۵/۱	۰/۱۸۱	۳۵/۷	۱۲۷/۳	میانگین

همانطور که ملاحظه می شود، افروzen الیاف به محلولهای بتونی به افزایش مقاومت فشاری، مدول الاستیسیته و برشی بتون کمک کرده است. ترکهای ایجاد شده در نمونه های بتون فوق توانمند بیشتر به صورت ریز ترکهایی است که به علت وجود الیاف عمدتاً به صورت پوسته شدگی هایی در سطح نمونه ظاهر شده اند.

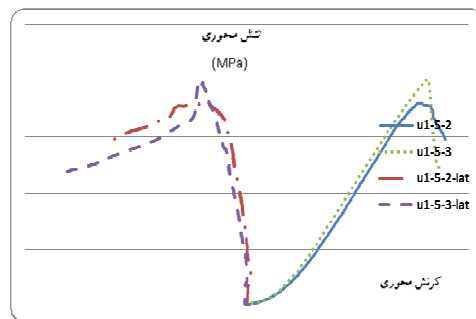
<sup>۴</sup> Displacement control

#### ۴.۵.۲. نتایج آزمایش سه محوری

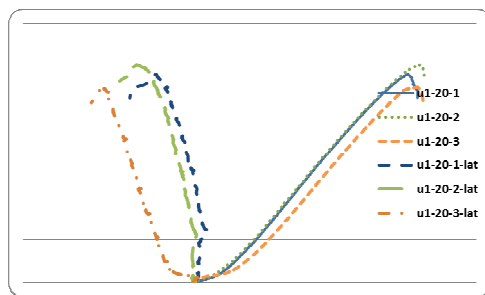
آزمایش سه محوری بتن الیافی توانمند مطابق با استاندارد ASTM C80/1 صورت گرفته است. [۱۹] نمونه‌های استوانه‌ای شکل تحت فشار همه جانبی ۵، ۱۰، ۱۵ و ۲۰ مگاپاسکال قرار گرفتند. منحنی‌های تنش-کرنش بتن فوق توانمند حاوی یک درصد الیاف (U1) در شکل‌های ۱۰ تا ۱۳ ارائه شده‌اند.



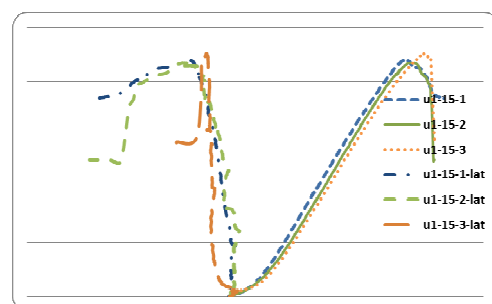
شکل ۱۱- منحنی‌های تنش-کرنش محوری و جانبی برای بتن فوق-  
توانمند حاوی یک درصد الیاف (U1) در فشار جانبی ۱۰ مگاپاسکال



شکل ۱۰- منحنی‌های تنش-کرنش محوری و جانبی برای بتن فوق-  
توانمند حاوی یک درصد الیاف (U1) در فشار جانبی ۵ مگاپاسکال



شکل ۱۳- منحنی‌های تنش-کرنش محوری و جانبی برای بتن فوق-  
توانمند حاوی یک درصد الیاف (U1) در فشار جانبی ۲۰ مگاپاسکال



شکل ۱۲- منحنی‌های تنش-کرنش محوری و جانبی برای بتن فوق-  
توانمند حاوی یک درصد الیاف (U1) در فشار جانبی ۱۵ مگاپاسکال

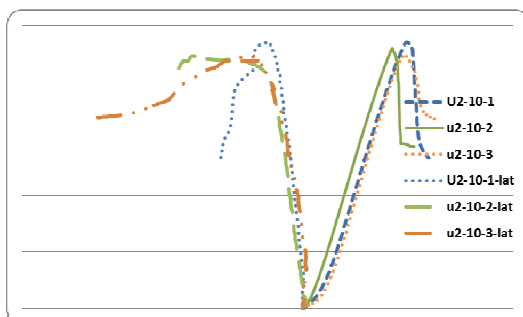
همچنین خلاصه نتایج آزمایش‌ها بر روی بتن فوق توانمند حاوی یک درصد الیاف در جدول ۱۳ ارائه شده است.

جدول ۱۳- مشخصات بتن فوق توانمند با یک درصد الیاف (U1) در بارگذاری سه محوری

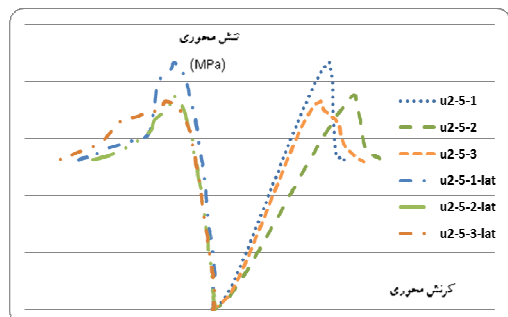
ردیف	نام نمونه	جنس آهن	نمودار
۱۰۷	۱۰۷	بزرگ	نمودار ۱۰۷
۱۰۸	۱۰۸	بزرگ	نمودار ۱۰۸
۱۰۹	۱۰۹	بزرگ	نمودار ۱۰۹
۱۱۰	۱۱۰	بزرگ	نمودار ۱۱۰
۱۱۱	۱۱۱	بزرگ	نمودار ۱۱۱
۱۱۲	۱۱۲	بزرگ	نمودار ۱۱۲
۱۱۳	۱۱۳	بزرگ	نمودار ۱۱۳
۱۱۴	۱۱۴	بزرگ	نمودار ۱۱۴
۱۱۵	۱۱۵	بزرگ	نمودار ۱۱۵
۱۱۶	۱۱۶	بزرگ	نمودار ۱۱۶

ردیف	نام نمونه	جنس آهن	نمودار
۱۱۷	۱۱۷	بزرگ	نمودار ۱۱۷
۱۱۸	۱۱۸	بزرگ	نمودار ۱۱۸
۱۱۹	۱۱۹	بزرگ	نمودار ۱۱۹
۱۲۰	۱۲۰	بزرگ	نمودار ۱۲۰
۱۲۱	۱۲۱	بزرگ	نمودار ۱۲۱
۱۲۲	۱۲۲	بزرگ	نمودار ۱۲۲
۱۲۳	۱۲۳	بزرگ	نمودار ۱۲۳
۱۲۴	۱۲۴	بزرگ	نمودار ۱۲۴

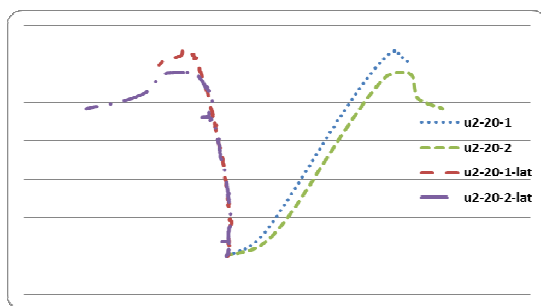
در شکل ۱۴ تا ۱۷ نمودارهای تنش-کرنش بتن فوق توانمند با دو درصد الیاف (U۲) در فشارهای مختلف نشان داده شده است.



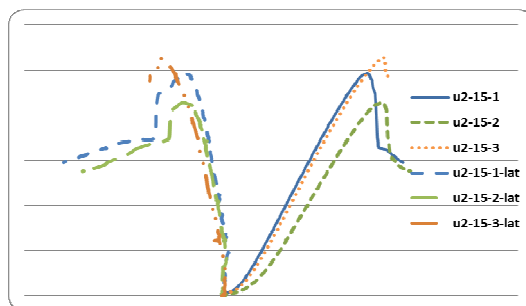
شکل ۱۵- منحنی های تنش-کرنش محوری و جانبی برای بتن فوق-  
توانمند حاوی دو درصد الیاف (U۲) در فشار جانبی ۱۰ مگاپاسکال



شکل ۱۴- منحنی های تنش-کرنش محوری و جانبی برای بتن فوق-  
توانمند حاوی دو درصد الیاف (U۲) در فشار جانبی ۵ مگاپاسکال



شکل ۱۷- منحنی های تنش-کرنش محوری و جانبی برای بتن فوق-  
توانمند حاوی دو درصد الیاف (U۲) در فشار جانبی ۲۰ مگاپاسکال



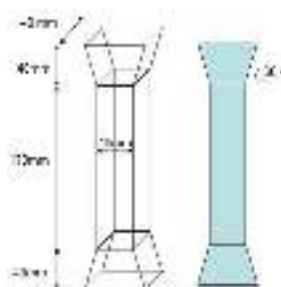
شکل ۱۶- منحنی های تنش-کرنش محوری و جانبی برای بتن فوق-  
توانمند حاوی دو درصد الیاف (U۲) در فشار جانبی ۱۵ مگاپاسکال

جدول ۱۴- مشخصات بتن فوق توانمند با دو درصد الیاف در بارگذاری سه محوری

ردیف (RD)	نام (نامه)	نام (نامه)	نام (نامه)
۱۶۴	۴۹۰۷	۱۰۲۴۵-۱	
۱۶۵	۴۹۱۰	۱۰۲۴۴-۲	
۱۶۶	۴۹۰۷	۱۰۲۴۴-۳	
۱۶۷	۴۹۰۷	۱۰۲۴۴-۴	
۱۶۸	۴۹۰۷	۱۰۲۴۴-۵	
۱۶۹	۴۹۰۷	چالشیان	
۱۷۰	۴۹۰۷	۱۰۲۴۴-۶	
۱۷۱	۴۹۰۷	۱۰۲۴۴-۷	
۱۷۲	۴۹۰۷	۱۰۲۴۴-۸	
۱۷۳	۴۹۰۷	۱۰۲۴۴-۹	
۱۷۴	۴۹۰۷	چالشیان	

ردیف (RD)	نام (نامه)	نام (نامه)	نام (نامه)
۱۷۵	۴۹۰۷	۱۰۲۴۴-۱۰	
۱۷۶	۴۹۰۷	۱۰۲۴۴-۱۱	
۱۷۷	۴۹۰۷	۱۰۲۴۴-۱۲	
۱۷۸	۴۹۰۷	۱۰۲۴۴-۱۳	
۱۷۹	۴۹۰۷	چالشیان	
۱۸۰	۴۹۰۷	۱۰۲۴۴-۱۴	
۱۸۱	۴۹۰۷	۱۰۲۴۴-۱۵	
۱۸۲	۴۹۰۷	۱۰۲۴۴-۱۶	
۱۸۳	۴۹۰۷	چالشیان	

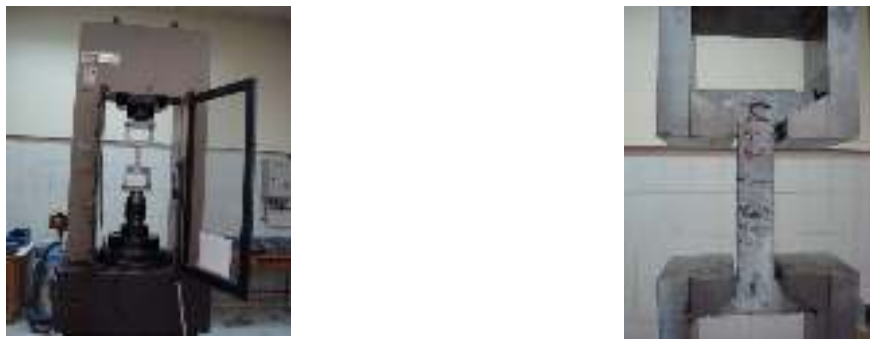
#### ۴.۶. آزمایش کشش مستقیم



شکل ۱۸- جزئیات نمونه کششی استخوانی شکل

استاندارد ASTM C140.۴ به نحوه انجام آزمایش کشش مستقیم بتن می پردازد، [۲۰] اما این استاندارد دارای اشکالهایی است و در مورد بتن‌های الیافی با توجه به مقاومت قابل توجه آن‌ها جوابگو نمی‌باشد. به منظور اندازه‌گیری مقاومت کششی مستقیم از تحقیقات نعمان<sup>۱۰</sup> هومریخ<sup>۱۱</sup> روی بتن الیافی ویژه (نمونه‌های استخوانی شکل) استفاده شده است. [۲۱] برای این تحقیق فک‌ها و قالب‌ها طراحی شدن و جزئیات آن‌ها در شکل ۱۸ نشان داده شده است.

در شکل ۱۹ تصویر نمونه استخوانی شکل تحت بار گذاری کشش مستقیم نمایش داده شده است.



شکل ۱۹- نمونه استخوانی شکل تحت بار گذاری کشش مستقیم توسط دستگاه MTS

در جدول ۱۵ مقادیر مقاومت کششی و میزان کرنش در تنش حداکثر ارائه شده است.

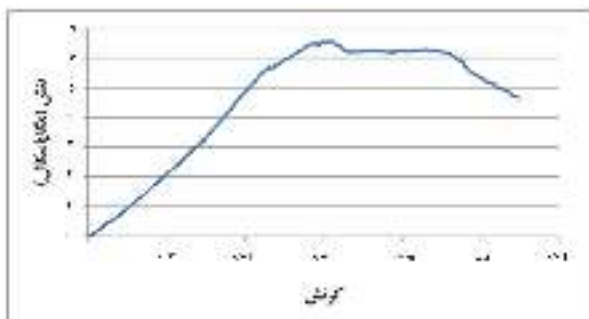
جدول ۱۵- نتایج آزمایش‌های کشش مستقیم و کرنش در بار حداکثر

کد نمونه	میانگین مقاومت کششی (MPa)	میانگین کرنش در بار حداکثر فشاری (mm/mm)
U۱	۴/۹۵	۰/۰۰۵۲
U۲	۶/۳۶	۰/۰۰۶۳

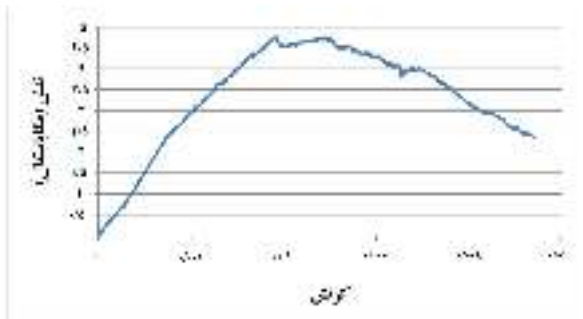
به منظور بررسی دقیق‌تر رفتار نمونه‌ها، منحنی تنش-کرنش کششی نمونه‌ها در شکل‌های ۲۰ و ۲۱ نمایش داده شده است. همانگونه که ملاحظه می‌شود رفتار بتن الیافی فوق توانمند در کشش رفتار الاستو-پلاستیک و شکل پذیر را نشان می‌دهد که او ویژگی‌های منحصر به فرد این نوع بتن می‌باشد. سپس بعد از بخش الاستیک (قسمت خطی منحنی) به علت شروع ترک‌ها، کاهشی در باربری کششی مشاهده می‌شود که با افزایش کرنش با توجه به عملکرد مناسب الیاف فلزی نمونه دوباره به باربری افزایشی (سخت شدگی) ادامه می‌دهد. مساحت زیاد زیر منحنی نشان دهنده طاقت و جذب انرژی زیاد بتن الیافی فوق-توانمند در بار گذاری کشش مستقیم می‌باشد.

<sup>۱۰</sup> Naaman

<sup>۱۱</sup> Homrich



شکل ۲۱- منحنی تنش-کرنش نمونه U2 تحت کشش مستقیم



شکل ۲۰- منحنی تنش-کرنش نمونه U1 تحت کشش مستقیم



شکل ۲۲- تصویر نمونه بتن فوق توانمند بعد از گسیختگی در آزمایش کشش مستقیم

## ۵. نتیجه‌گیری

- برای دستیابی به طرح اختلاط بهینه بتن فوق توانمند، ۱۴ طرح اختلاط آزمایشی اجرا شد که طرح بهینه با مقدار سیمان ۱۰۵۰ و نسبت آب به سیمان ۰/۱۶، مقاومت فشاری حدود ۱۷۵ مگاپاسکال با روانی مناسب ۱۹/۷۵ میلی متر حاصل شد.
- افزایش میزان الیاف در بتن فوق توانمند از یک به دو درصد حجمی:
  - ✓ باعث بهبود ۱۰ درصدی مقاومت فشاری شده است، اگرچه که معیار مورد توجه در این نوع بتن نمی‌باشد.
  - ✓ باعث بهبود ۱۵ درصدی مقاومت خمی شده است به طوری که مقاومت خمی بتن فوق توانمند حاوی دو درصد الیاف فولادی حدود ۱۹ مگاپاسکال می‌باشد. نمونه‌ها بعد از ایجاد اولین ترک، توانایی تحمل بار تا گسیختگی نهایی را دارند که نشان دهنده شکل پذیری زیاد این نوع بتن می‌باشد.
  - ✓ تاثیر قابل توجهی در مقاومت کششی ندارد و تفاوت نسبتاً کمی بین مقاومت دو نمونه ایجاد کرده است. مقاومت کششی بتن‌های فوق توانمند قابل توجه می‌باشد که به علت عملکرد مناسب الیاف فولادی می‌باشد.
  - ✓ باعث افزایش مدول الاستیستیه می‌شود زیرا الیاف فولادی مدول الاستیستیه بیشتری نسبت به بتن دارند. کرنش بتن فوق توانمند در بار حداکثر فشاری بالیاف یک و دو درصدی به ترتیب ۰/۰۴۳ و ۰/۰۴۴ می‌باشد که نشان دهنده افزایش جذب انرژی بتن می‌باشد.
  - ✓ طبق آزمایش تک محوری باعث افزایش ضربی پواسون از ۰/۱۸ به ۰/۱۹ و افزایش مدول برشی بتن از ۱۵/۱ به ۱۶/۹ مگاپاسکال می‌شود.
  - ✓ طبق آزمایش سه محوری، به جز در فشار جانبی ۵ مگاپاسکال، باعث افزایش در ظرفیت تنش نهایی بتن می‌شود و همچنین مدول الاستیستیه بتن افزایش پیدا کرده و در فشارهای جانبی ۵، ۱۰، ۱۵ و ۲۰ مگاپاسکال مشخص گردیده است.
  - با استفاده از آزمایش کشش مستقیم بر نمونه‌های استخوانی شکل، منحنی کامل تنش-کرنش کششی در مقدارهای مختلف الیاف بدست آمد. مساحت زیر منحنی نشان دهنده طاقت و جذب انرژی زیاد بتن الیافی فوق توانمند در بارگذاری کشش مستقیم می‌باشد.
  - منحنی‌های کامل تنش-کرنش بتن فوق توانمند حاوی یک و دو درصد الیاف فولادی تحت آزمایش تک محوری و سه محوری بدست آمد.

## ۶. مراجع

- [۱] AFGC Scientific and Technical Documents. (۲۰۰۲). "Ultra High Performance Fibre-Reinforced Concretes – Interim Recommendations (Documents scientifiques et techniques)". BJtons fibrJs B ultra hautes performances – Recommandations provisoires), French Association of Civil Engineering. (Association FranHaise de GJnie Civil).
- [۲] Arora, A., Almujaddidi, A., Kianmofrad, F., Mobasher, B., and Neithalath, N. (۲۰۱۹). "Material design of economical ultra-high performance concrete (UHPC) and evaluation of their properties". Cement and Concrete Composites.
- [۳] Alsalmam, A., Dang, C. N., and Hale,V. M. (۲۰۱۷). "Development of ultra-high performance concrete with locally available materials". Construction and Building Materials. vol. ۱۳۳, pp. ۱۳۵–145.
- [۴] Shi, C. J., Wu, Z. M., Xiao, J. F., Wang, D. H., Huang, Z. Y., and Fang, Z. (۲۰۱۵). "A review on ultra high performance concrete. Part I: Raw materials and mixture design." Constr. Build. Mater. 101: 741–751.
- [۵] Park, S. H., Dong, J. K., Ryu, G. S. and Koh, K. T. (۲۰۱۲). "Tensile behavior of ultra high performance hybrid fiber reinforced concrete." Cem. Concr. Compos. ۴۴ (۲): ۱۷۲–184.
- [۶] Azmee, N., and Shafiq, N. (۲۰۱۸). "Ultra-High Performance Concrete: From Fundamental to Applications." Case Studies in Construction Materials.
- [۷] Racky. (۲۰۰۴). "P. Cost-effectiveness and Sustainability of UHPC. Proceedings of the International Symposium on Ultra High Performance Concrete". Kassel, Germany, Sept. ۱۳-15: 797 805.
- [۸] Richard, P., and M. Cheyrezy. (۱۹۹۵). "Composition of Reactive Powder Concretes. Cement and Concrete Research". Vol. ۲۵, No. ۷: ۱۵۰۱-۱۵۱۱.
- [۹] Fehling, E., Leutbecher, T., and Bunje, K. (۲۰۰۴). "Design relevant properties of hardened ultra-high performance concrete". In Int. Symp. On Ultra High Performance Concrete, Vol. ۱, pp. ۳۲۷-338.
- [۱۰] Graybeal, B. A., and Baby, F. (۲۰۱۳). "Development of Direct Tension Test Method for Ultra-High-Performance Fiber-Reinforced Concrete". ACI Materials Journal, ۱۱۰(۲).
- [۱۱] GU, C., Ye, G., and Sun, W. (۲۰۱۵). "Ultra high performance concrete-properties, applications and perspectives". Science China Technological Sciences, 58(۴), 587-599.
- [۱۲] ASTM C۳۳-۰۳, (۲۰۰۳). "Standard Specification for Concrete Aggregates". ASTM International, West Conshohocken, PA.
- [۱۳] ASTM C۳۹, (۱۹۹۴). "Standard Test Method for Compressive Strength of Cylindrical Concrete Specimens". American Society for Testing and Materials Standard Practice C۳۹, Philadelphia, Pennsylvania.
- [۱۴] Kollmorgen, G.A. (۲۰۰۴). "Impact of Age and Size on the Mechanical Behavior of and Ultra-High Performance Concrete". MS Thesis in Civil Engineering, Michigan Technological University, Houghton, Michigan.
- [۱۵] Graybeal, B.A. (۲۰۰۵). "Characterization of the behavior of ultra-high performance concrete". PhD thesis, University Maryland.

- [۱۶] ASTM C۷۸, (۱۹۹۴). "Standard Test Method for Flexural Strength of Concrete (Using Simple Beam with Third-Point Loading)". American Society for Testing and Materials Standard Practice C۷۸, Philadelphia, Pennsylvania.
- [۱۷] ASTM C۴۹۶, (۱۹۹۴). "Standard Test Method for Splitting Tensile Strength of Cylindrical Concrete Specimens". American Society for Testing and Materials Standard Practice C۴۹۶, Philadelphia, Pennsylvania.
- [۱۸] ASTM C۴۶۹, (۲۰۰۲). "Standard test method for static modulus of elasticity and poisson's ratio of concrete in compression". American Society for Testing Materials. West Conshohocken: Annual book of ASTM Standards.
- [۱۹] ASTM C۸۰۱, (۲۰۰۴). "Standard test method for determining the mechanical properties of hardened concrete under triaxial loads". American Society for Testing Materials. West Conshohocken: Annual book of ASTM Standards.
- [۲۰] ASTM C۱۴۰.۴ / C۱۴۰.۴M-۹۸(2003), Standard Test Method for Bond Strength of Adhesive Systems Used with Concrete as Measured by Direct Tension (Withdrawn ۲۰۱۰), ASTM International, West Conshohocken, PA, ۱۹۹۸
- [۲۱] Naaman, A.E., and Hormich, J. R. (۱۹۸۹). "Tensile Stress-Strain Properties of SIFCON". ACI Materials Journal, vol. ۸۶, No. ۳, May-June ۱۹۸۹, pp. ۲۴۴-۲۵۱.